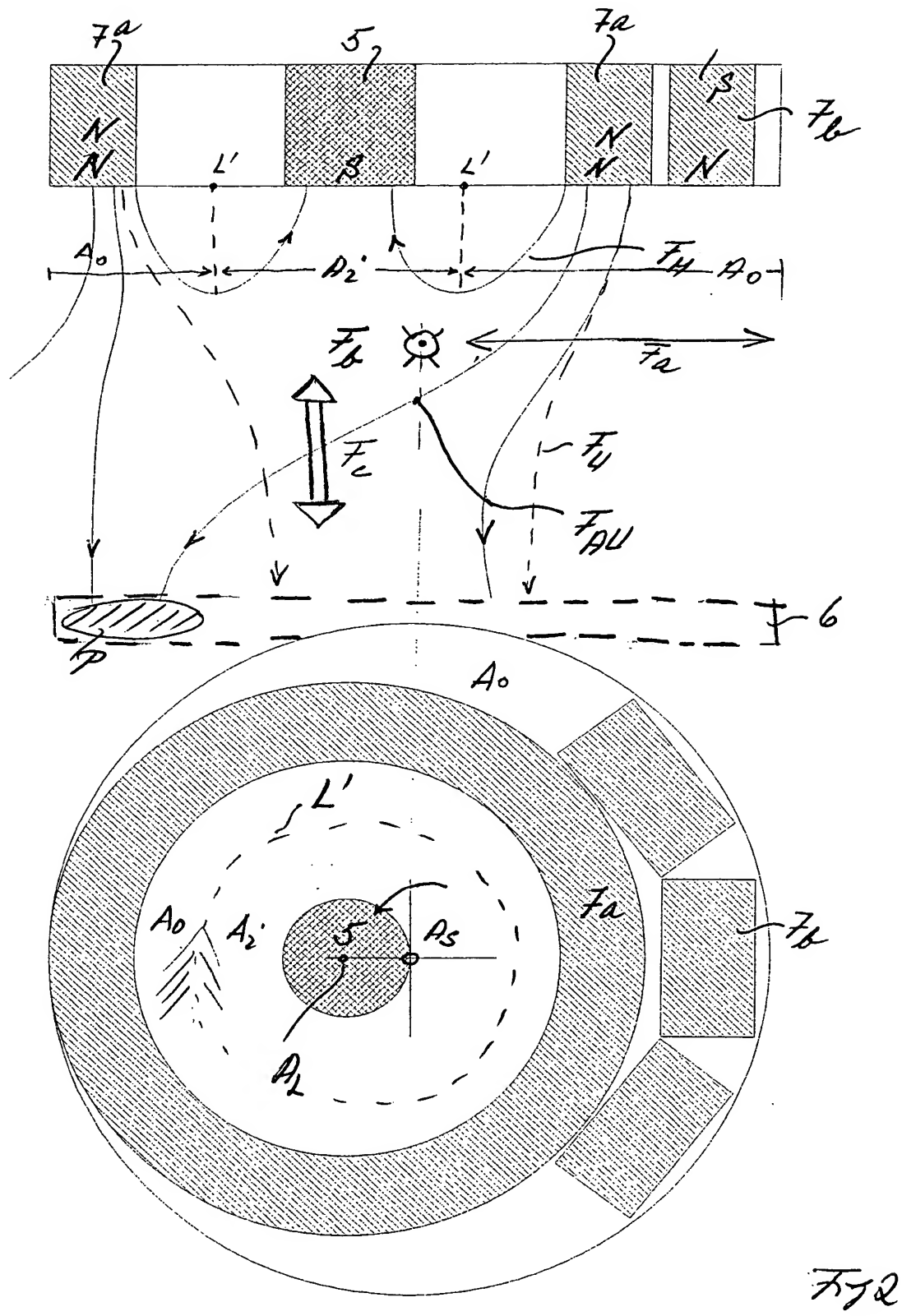


Fig



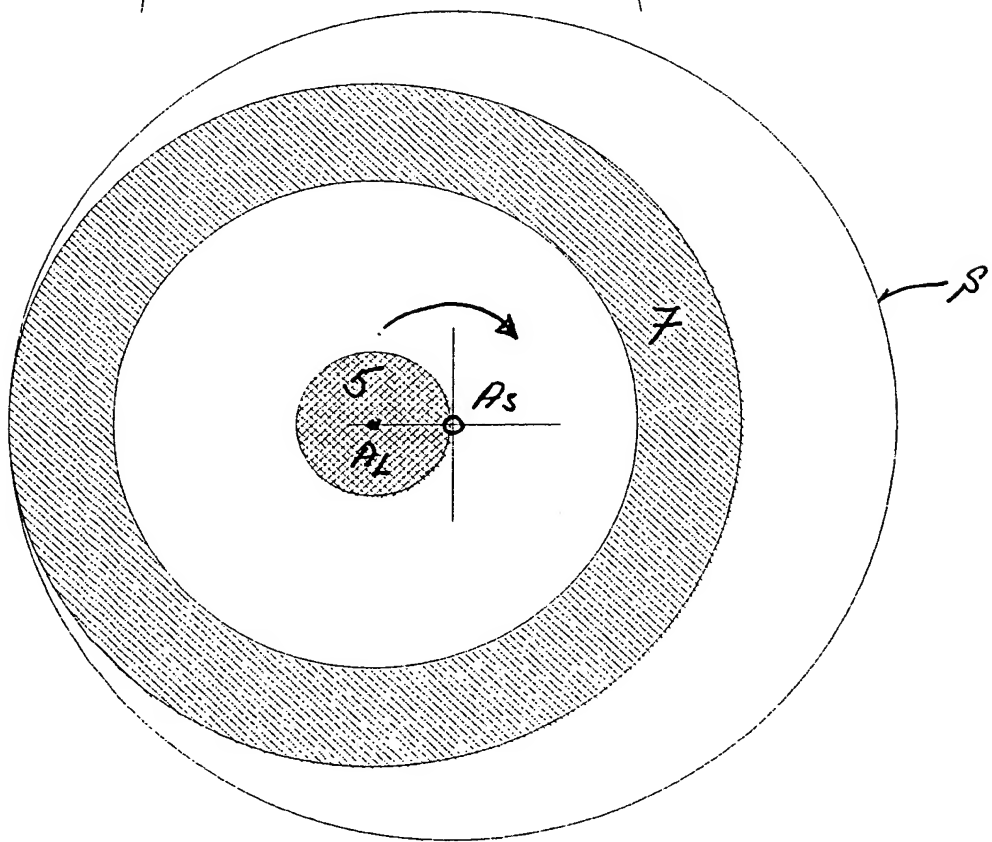
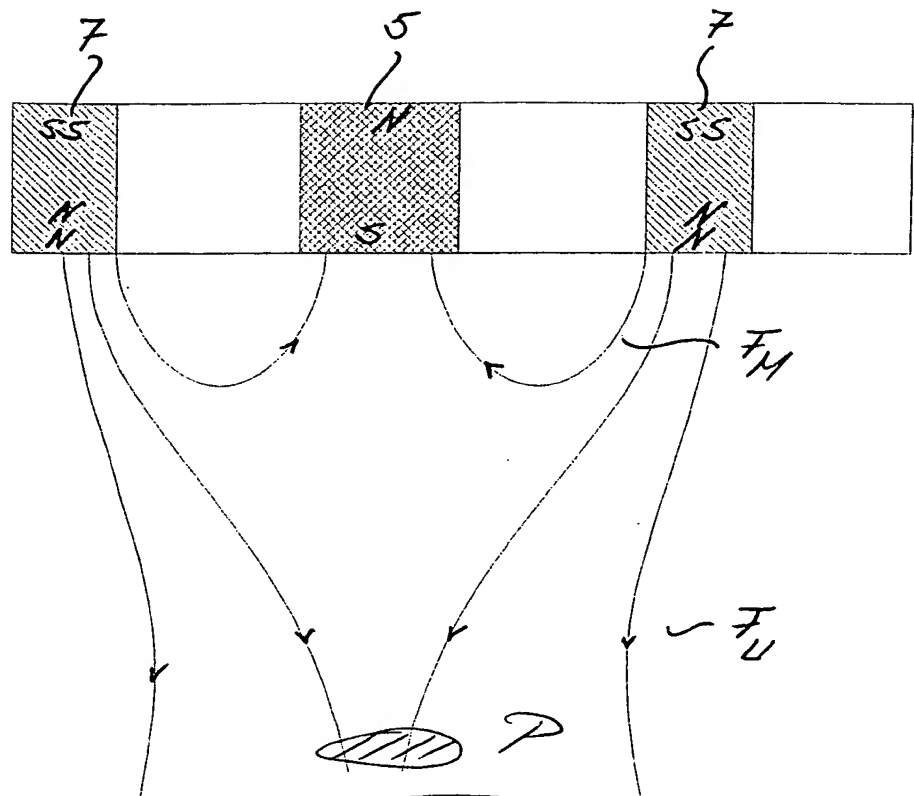


Fig 4

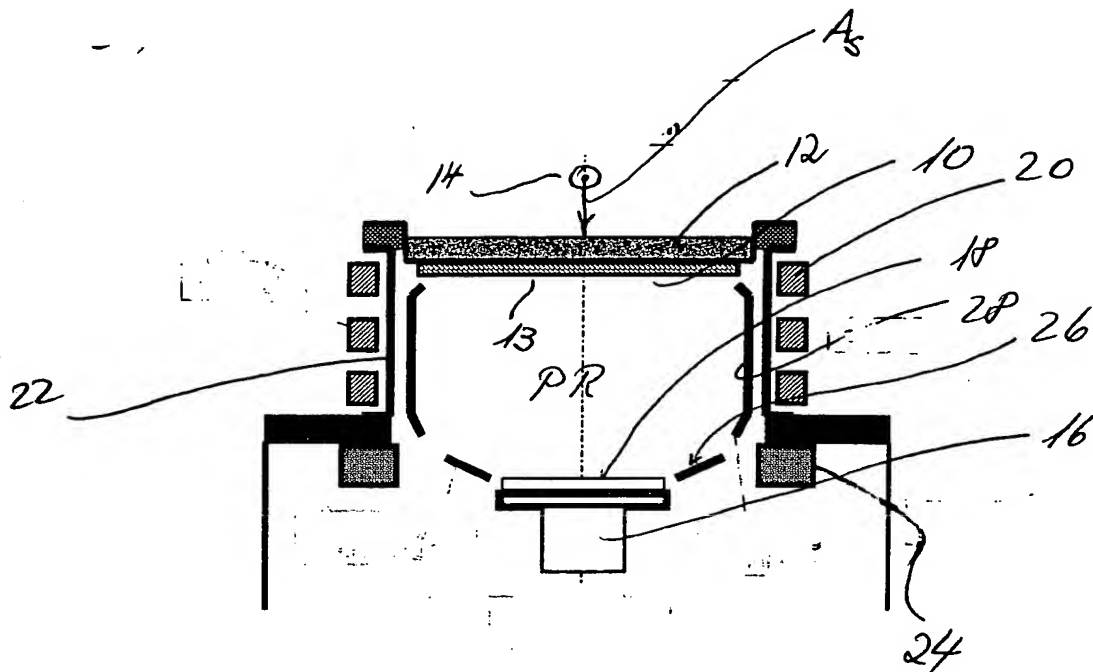


Fig 3

Ionenstromdichte versus Radius bei verschiedenen Spulenströmen ($I_1=I_2=I_3=I_4=I_5$ mit Schirm; und mit -80V DC Bias; $qAr=15\text{ sccm}$; $p=1.4 \times 10^{-3}\text{ mbar}$; $TS=37\text{ cm}$; $I_{\text{loop}}=I_{\text{screen}}$) mit schirm gleiche Ströme als

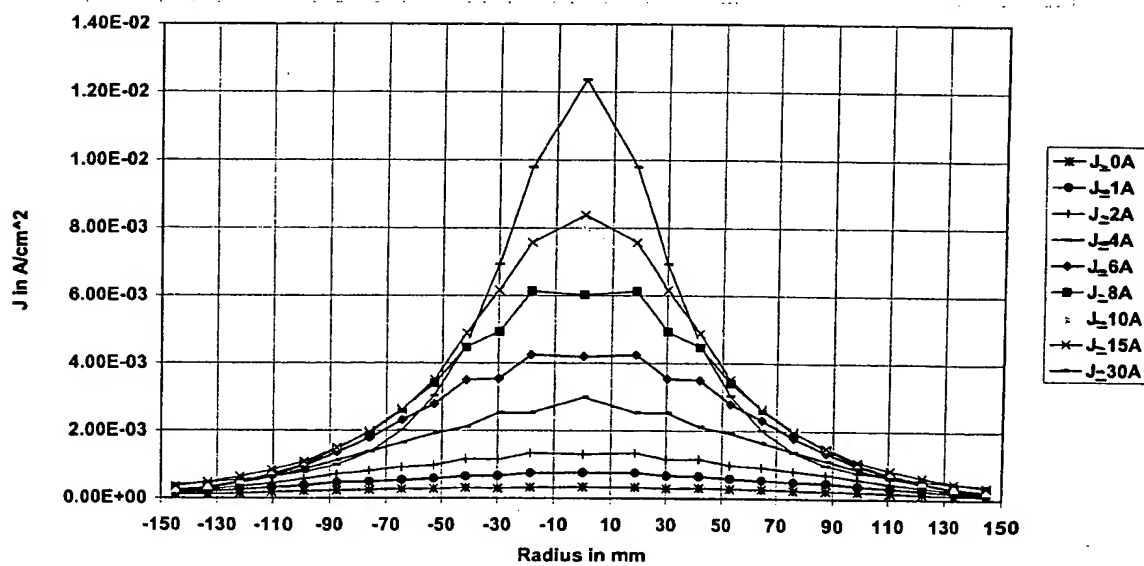


Fig 5

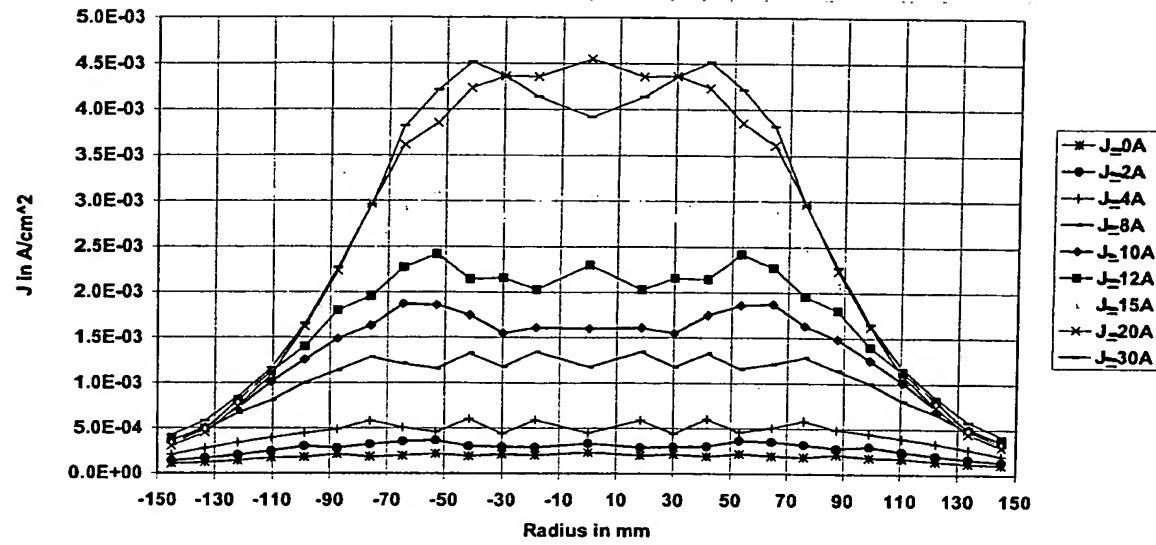
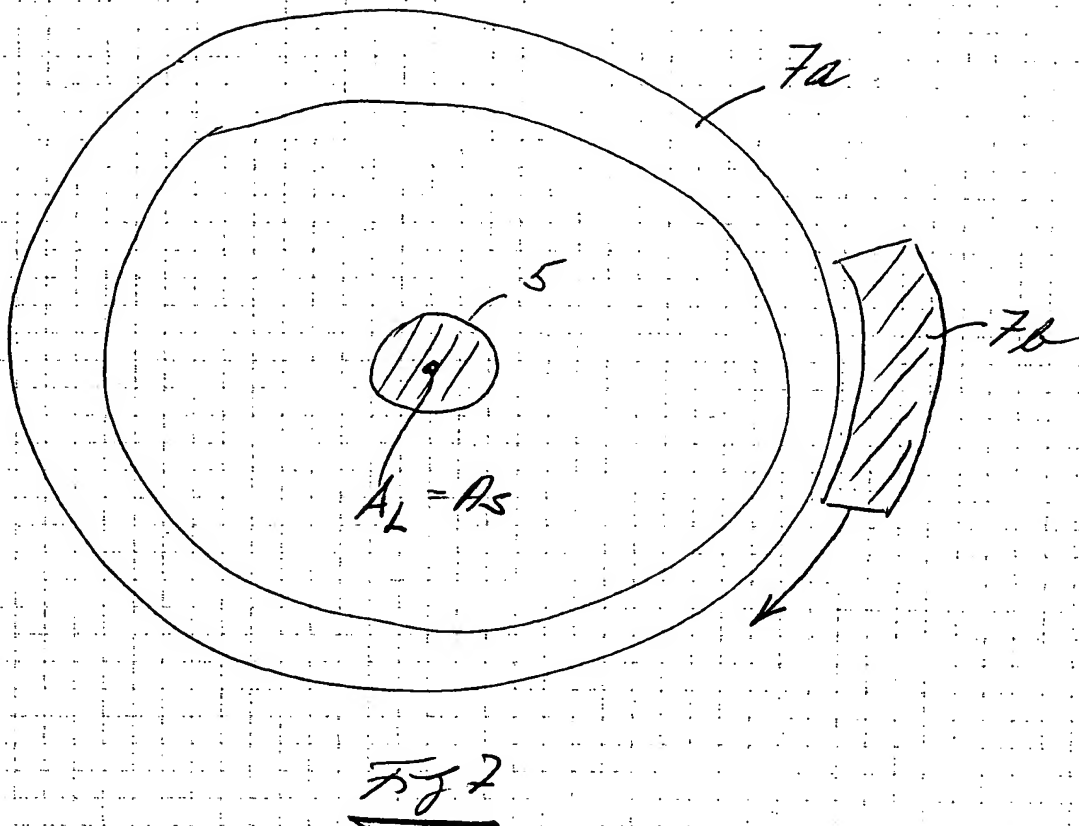
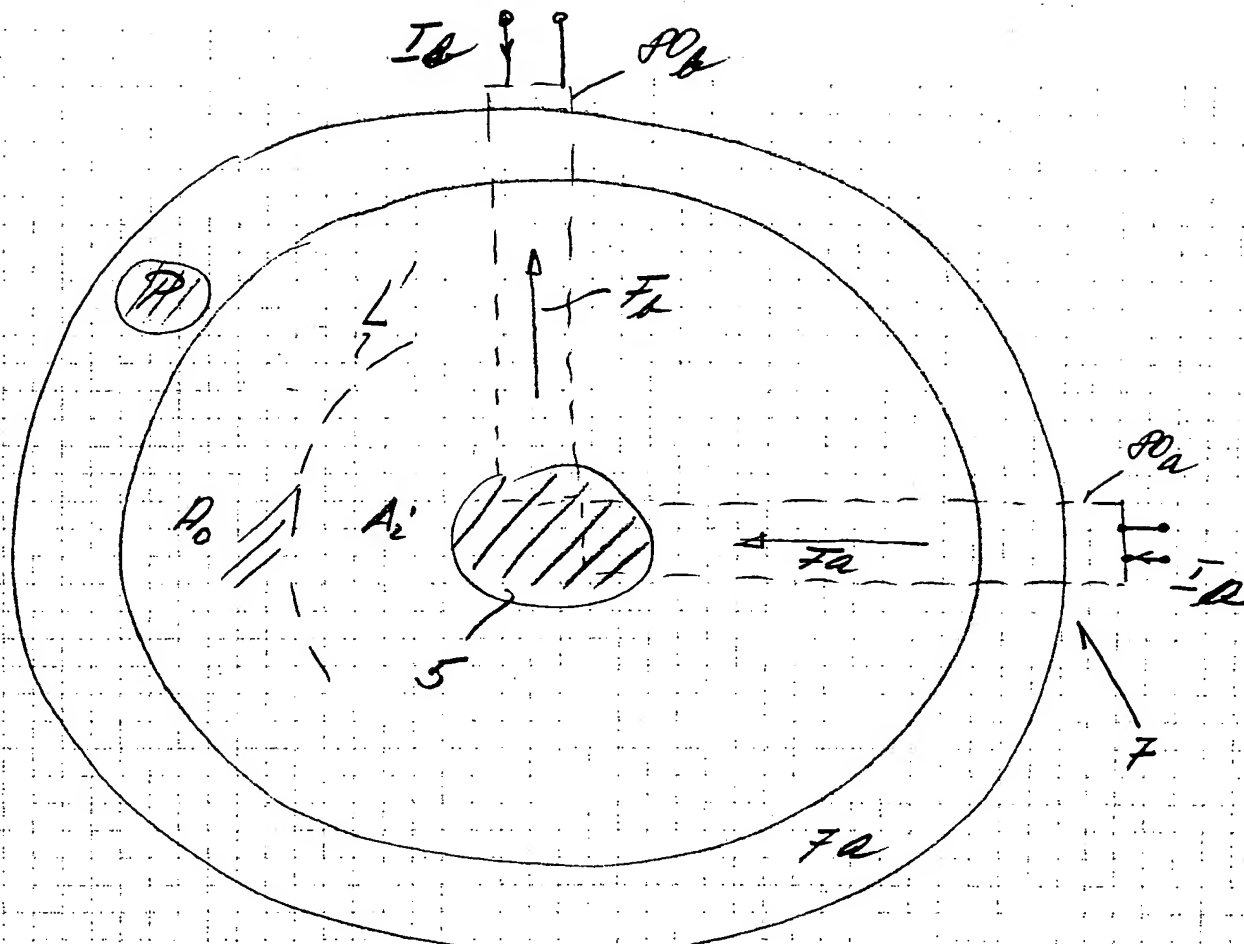


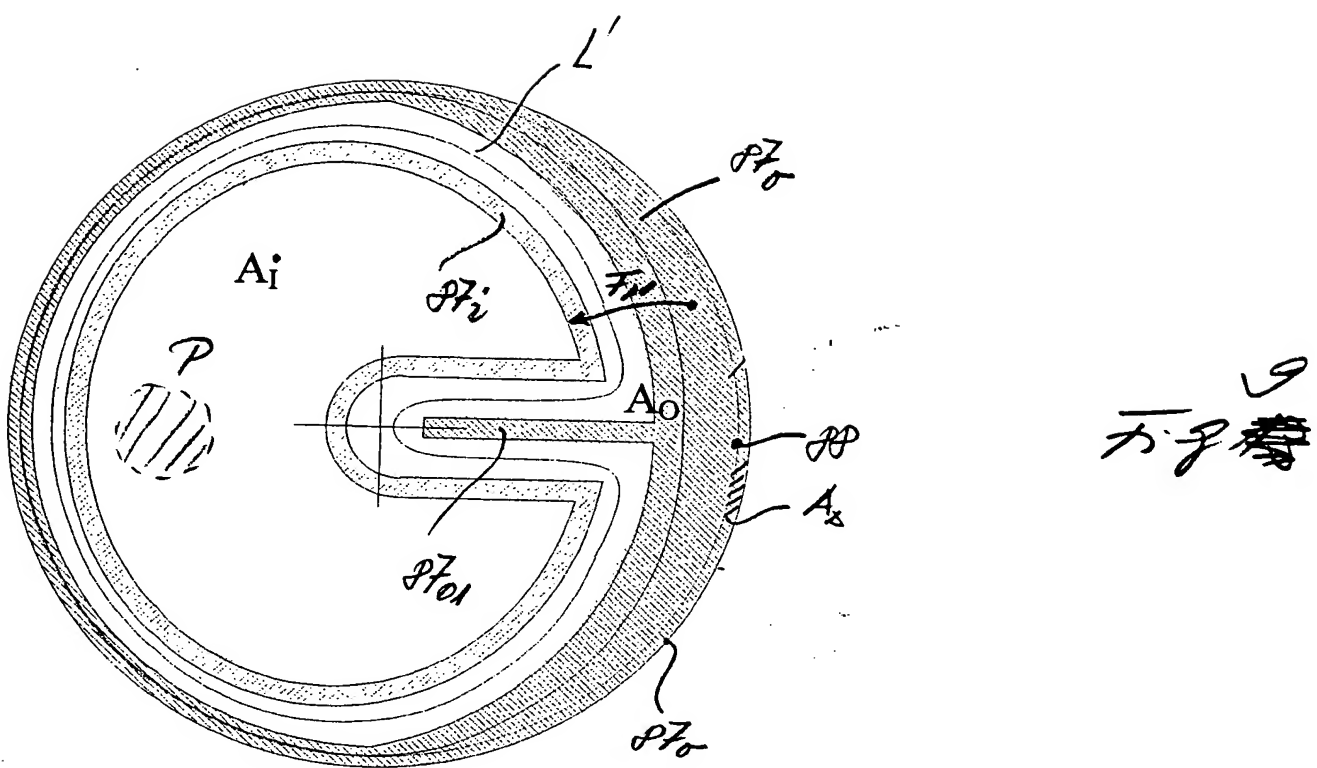
Fig 6



FJ 2



788



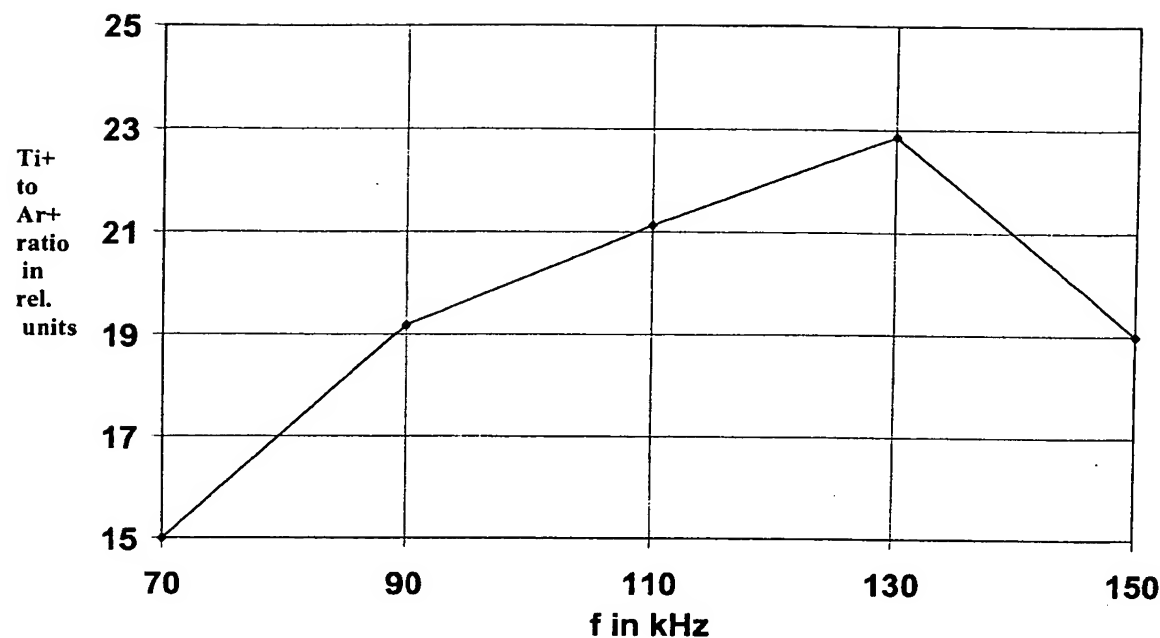
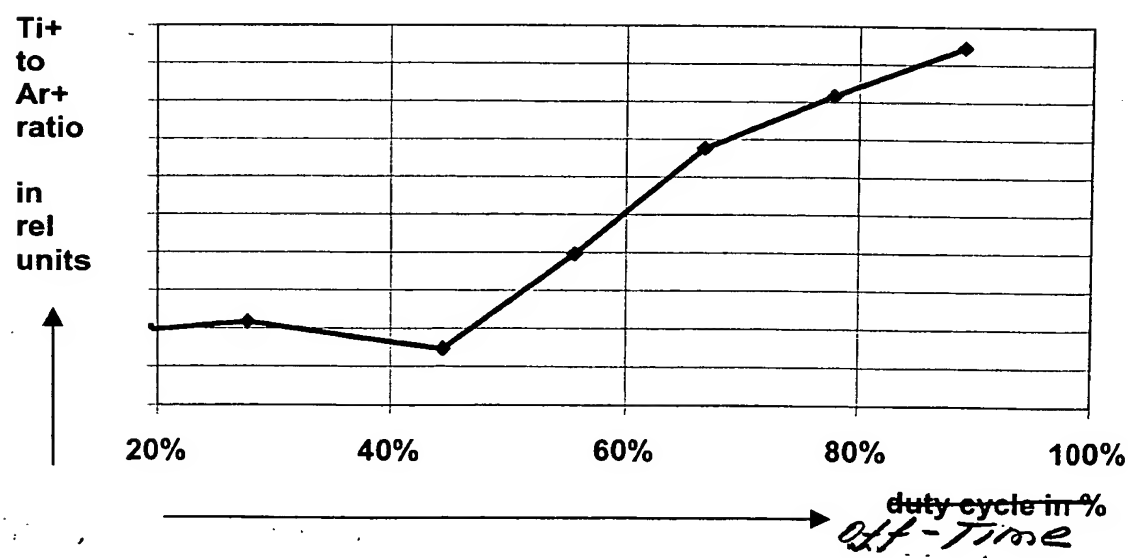


Fig. 10



duty cycle in %
off-time

Fig. 11

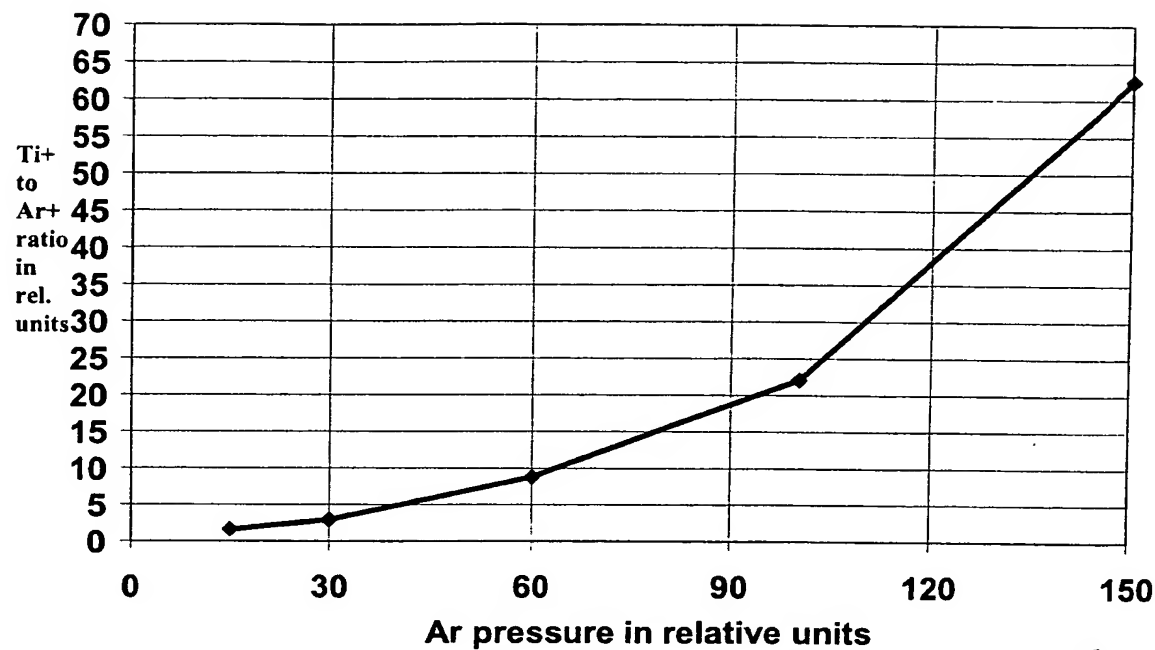


Fig. 12

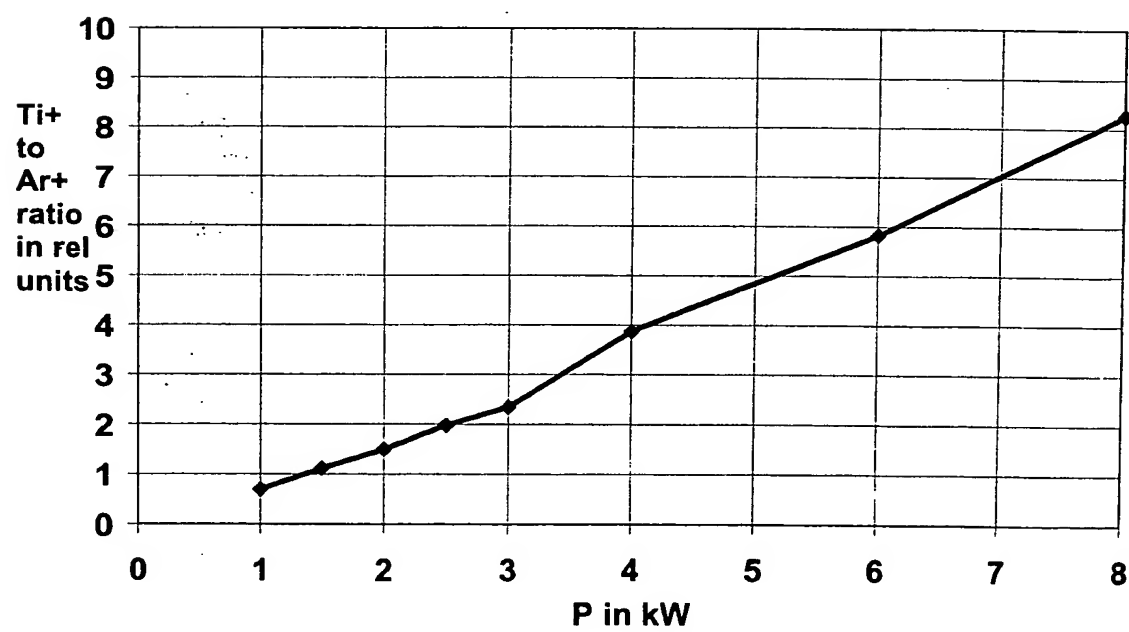


Fig. 13